



ارزیابی تغییرات عملکرد و ردپای آب محصول ذرت با مدل گیاهی AquaCrop-GIS

رستا نظری^۱، هادی رمضانی اعتدالی^{۲*}، پیمان دانش کار آراسته^۳

۱. دانشجوی دکتری مهندسی آبیاری و زهکشی، گروه مهندسی آب، دانشگاه بین‌المللی

امام خمینی (ره)، قزوین

۲. دانشیار گروه مهندسی آب، دانشگاه بین‌المللی امام خمینی (ره)، قزوین

۳. دانشیار گروه مهندسی آب، دانشگاه بین‌المللی امام خمینی (ره)، قزوین

تاریخ پذیرش مقاله: ۱۴۰۰/۰۵/۱۲

تاریخ دریافت مقاله: ۱۳۹۹/۰۹/۲۷

چکیده

برآورد پتانسیل تولید هر گیاه تابعی از شرایط اقلیمی، پتانسیل‌های ژنتیکی گیاه و دیگر عوامل گوناگون محیطی و مدیریتی است. ارزیابی توانمندی مناطق، در به‌ فعلیت‌رساندن پتانسیل‌های ژنتیکی گیاهان، از نکات مهم برنامه‌ریزی‌های کلان در کشاورزی به حساب می‌آید. با توجه به جایگاه استان قزوین در تولید محصول ذرت و اهمیت کشت این محصول در استان، برآورد هرچه دقیق‌تر میزان عملکرد این محصول استراتژیک بسیار ضرورت دارد. در همین زمینه، با مطالعه یک دوره داده‌برداری یازده‌ساله، عملکرد محصول ذرت با مدل گیاهی جدید AquaCrop-GIS برآورد شد. پنهان‌بندی شاخص‌های کلیدی محصول از طریق مدل در سطح استان شبیه‌سازی شد. با بررسی نتایج این پارامترهای کلیدی، مشخص شد ایستگاه‌های مطالعاتی قزوین و معلم کلایه با میزان تبخیر و تعرق مرجع کمتر دارای بهره‌وری آب بیشتری است. در ادامه با استفاده از عملکرد محاسباتی، اجزای ردپای آب و ردپای آب کل محصول با عملکرد محصول در هر ایستگاه، تخمین زده شد. با بررسی معادلات رگرسیونی میان اجزای ردپای آب و ردپای آب کل محصول با عملکرد محصول در هر ایستگاه، مشخص شد روابط ردپای آب آبی با عملکرد به نسبت دیگر اجزای ردپای آب در مرور تمامی ایستگاه‌ها، از میزان ضرب تعبین ($R^2 = 0.43$). $R^2 = 0.51$, $R^2 = 0.43$, $R^2 = 0.77$, $R^2 = 0.79$ و $R^2 = 0.88$ به ترتیب در مورود ایستگاه‌های قزوین، آوج، معلم کلایه، تاکستان و بوین‌زهرا) و سطح معنی‌داری برخوردار است. به طور کلی ضرب تعبین این روابط در ایستگاه بوین‌زهرا با $R^2 = 0.56$, $R^2 = 0.53$ و $R^2 = 0.54$ به ترتیب برای ردپای آب سیز، آبی، خاکستری و ردپای آب نسبت به سایر ایستگاه‌ها، بیشتر برآورد شد؛ به این معنی که کاهش عملکرد در این ایستگاه تأثیر بسزایی بر افزایش ردپای آب کل محصول داشت.

کلیدواژه‌ها: پتانسیل تولید، بهره‌وری آب، ایستگاه‌های مطالعاتی، معادلات رگرسیونی، سطح معنی‌داری، AquaCrop-GIS

* نویسنده مکاتبه‌کننده: قزوین، گروه مهندسی آب، دانشکده کشاورزی و منابع طبیعی دانشگاه بین‌المللی امام خمینی (ره)، کد پستی: ۳۴۱۴۸۹۶۸۱۸. تلفن: ۰۹۱۲۳۵۴۲۵۴. ۰۲۸۳۳۹۰۱۲۷۸

۱- مقدمه

Salemi et al., 2011; García-Vilaa and Fereres, Alizadeh et al., 2016; Ramezani Etedali et al., 2012; Babazadeh et al., 2010 به منظور بررسی تغییرات مکانی همراه با تعداد شبیه‌سازی بسیار، می‌توان از مدل جدید-AquaCrop-GIS استفاده کرد (Lorite et al., 2013). دو مدل جدید FAO با نام‌های AquaCrop-GIS و AquaCrop-Data، با ایجاد همبستگی میان اطلاعات مدل ArcGIS و AquaCrop، حجم بسیاری از اطلاعات را با سناریوهای متفاوت شبیه‌سازی می‌کنند (Lorite et al., 2013). پژوهشی با هدف شبیه‌سازی تأثیر تغییرات مکانی خصوصیات اقلیمی مناطق متفاوت استرالیا بر عملکرد گندم، با استفاده از دو مدل AquaCrop-GIS و AquaCrop-Data (Lorite et al., 2013)، انجام شد (AquaCrop-Data نتایج نشان داد که مدل AquaCrop-GIS برای استفاده از مدل AquaCrop در مقیاس حوضه آبریز مدل قدرتمندی است. در پژوهشی دیگر، اثر حاصلخیزی و اقلیمهای متفاوت نواحی جنوبی آلبرتا کانادا بر عملکرد محصولات گوناگون با استفاده از مدل AquaCrop-GIS شبیه‌سازی شد (Langhorn, 2015). نتایج نشان داد که مدل مورد نظر می‌تواند تأثیرات تغییر اقلیم در عملکرد محصول را شبیه‌سازی کند. جیانگ^۵ و همکاران (۲۰۱۵) اثر تغییرات مکانی مشخصات کمی و کیفی آب مصرفی را بر عملکرد محصولات گوناگون در چین، با استفاده از مدل AquaCrop-GIS، شبیه‌سازی کردند. رائس^۶ و همکاران (۲۰۱۳) در پژوهشی نشان دادند پیش‌بینی عملکرد محصول در شرایط تغییرات مکانی کمیت و کیفیت آب آبیاری، حاصلخیزی خاک، مشخصات فیزیکی و شیمیابی خاک، سطح آب زیرزمینی، کیفیت آب زیرزمینی و اقلیم با استفاده از

1. Decision Support System for Agrotechnology Transfer
2. Agriculture Production Systems sIMulator
3. Simple and Universal Crop Growth Simulator
4. WOrld FOod STudies
5. Jiang
6. Raes

در حال حاضر، بخش کشاورزی مهم‌ترین بخش مصرف کننده آب است. با توجه به بحران کمبود آب در بخش کشاورزی، مدیریت آبیاری براساس نیاز واقعی گیاه و افزایش بهره‌وری مصرف آب حائز اهمیت می‌باشد. افزایش محصول به تأمین نیاز آبی گیاه وابسته است؛ بنابراین، تخمین صحیح نیاز آبی گیاه هم به تولید محصول کمک می‌کند و هم در مدیریت منابع آب مؤثر است. برآورد پتانسیل تولید نقش مهمی در مدیریت تولید در بخش کشاورزی دارد. پتانسیل عملکرد هر محصول نشان‌دهنده بهترین نوع مدیریت در کنترل مؤثرترین عامل کاهنده عملکرد آن محصول در منطقه است؛ از این‌رو عملکرد واقعی به عملکرد گیاه در شرایط واقعی تولید و در حضور محدودیت‌های معمول محیطی مانند آب، مواد مغذی، آفات، بیماری‌ها، علف‌های هرز و مدیریت اطلاق می‌شود (Sadras, 2004).

برای بررسی میزان عملکرد گیاهان زراعی می‌توان از انواع مدل‌های گیاهی همچون APSIM^۷، DSSAT^۸، SUCROS^۹ و WOFOST^{۱۰} بهره برد. با کاربرد مدل‌های گیاهی، ضمن مدیریت و تغییر پارامترهایی همچون آبیاری، خاک، رقم محصول، فعالیتها و تکنیک‌های مورد استفاده در کشت محصولات زراعی، می‌توان رشد و عملکرد محصولات کشاورزی را ارزیابی کرد. مدل AquaCrop از جمله مدل‌های شبیه‌ساز رشد گیاه است که سازمان خواربار جهانی معرفی کرده و به لحاظ داده‌های ورودی کمتر موردنیاز، کاربرد گستردگی دارد (Raes et al., 2009). از مزایای مدل AquaCrop می‌توان به انعطاف‌پذیری مدل در اجرای راهکارهای گوناگون مدیریتی در زمینه نوع خاک، روش آبیاری و نیز به امکان شبیه‌سازی تأثیرات تنش‌های محیطی از جمله تنش آبی، ماندای، شوری، حاصلخیزی و گرم‌آشare کرد. مدل AquaCrop در مناطق متفاوت و در مورد محصولات گوناگون Farahani et al., 2009; Geerts et al., 2009; Heng et al., 2009; Hsiao et al., 2009; Tavakoli et al., 2010; Andarzian et al., 2011;

و تعیین دقیق میزان آب مصرفی محصول، به افزایش عملکرد و کاهش میزان ردپای آب مصرفی و همین‌طور افزایش بهره‌وری آب در استان کمک می‌شود.

۲- مواد و روش‌ها

۱- منطقه مورد مطالعه

استان قزوین در بخش شمال‌غرب ایران واقع شده است. این استان، با مساحتی حدود ۱۵,۸۲۰ کیلومترمربع، با استان‌های مازندران، گیلان، همدان، زنجان، مرکزی و البرز همسایه است. قزوین، تاکستان، بویین‌زهرا، آبیک، البرز و آوج، از شهرستان‌های این استان هستند (شکل ۱). دشت قزوین، از نظر پیشینه تاریخی، محصولات کشاورزی و گونه‌های جانوری، اهمیت اقتصادی و تاریخی بسیار مهمی در میان دشت‌های ایران دارد. حوضه آبگیر رود شور وسیع‌ترین حوضه آبریز استان است که تمامی دشت قزوین و بخش وسیعی از نواحی جنوبی کوهستانی استان را دربر می‌گیرد.

۲-۲- اقلیم منطقه و ایستگاه‌های هواشناسی مطالعاتی با توجه به نقشه اقلیمی استان که به روش دمارتن تهیه شده و کاملاً از وضعیت توپوگرافی و ارتفاعات تعیین می‌کند، بیشترین پهنه اقلیمی استان به محدوده نیمه‌خشک سرد تعلق دارد (شکل ۲).

در این نقشه، تنوع اقلیمی بارزی در ارتفاعات مناطق شمال‌شرق و سرشاخه‌های رودخانه شاهروod در منطقه الموت مشاهده می‌شود. اقلیم‌های خیلی مرطوب، مرطوب، نیمه‌مرطوب فراسرد و مدیترانه‌ای سرد و معتدل را می‌توان در این منطقه تشخیص داد. شهر معلم‌کلایه، مرکز این بخش، دارای اقلیم نیمه‌مرطوب سرد است. این شرایط اقلیمی، به‌سمت مناطق مرکزی الموت، متعادل‌تر می‌شود؛ به‌طوری‌که در رازمیان آب‌وهوای نیمه‌مرطوب معتدلی برقرار است. به‌علاوه تنوع اقلیمی را در مقیاس کوچک‌تری در ارتفاعات شمال‌غرب استان می‌توان ملاحظه کرد.

1. Arjen Hoekstra

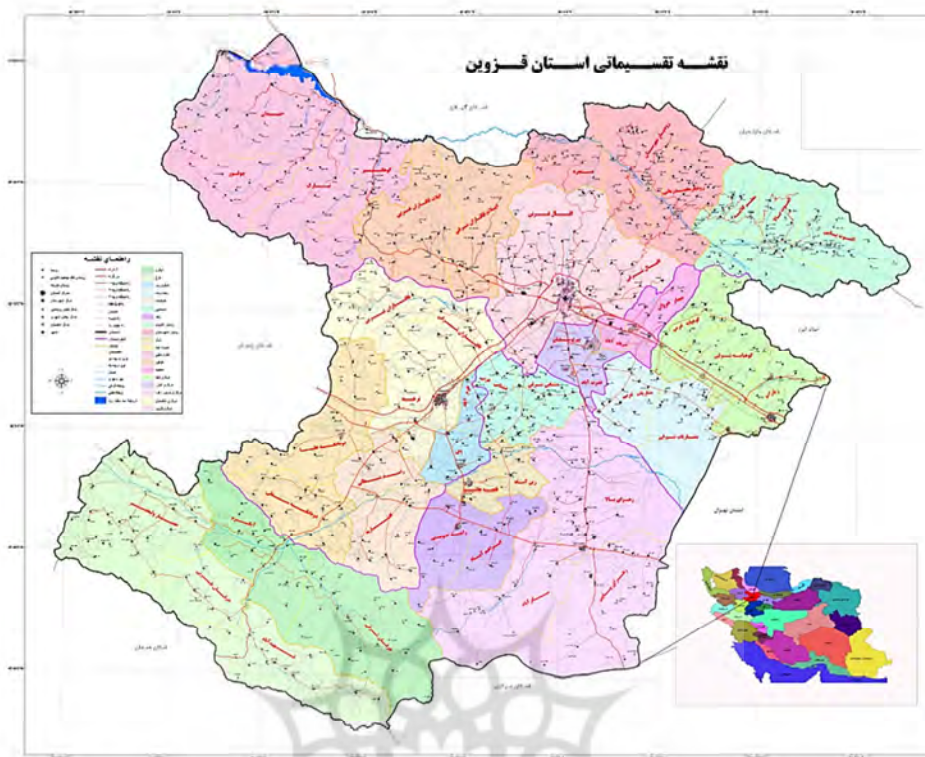
مدل AquaCrop به زمانی حدود ۱۰۰۰ ساعت کار نیاز دارد؛ در حالی که با کاربرد مدل‌های AquaCrop-GIS و AquaCrop-Data حدوداً ۹۹٪ صرفه‌جویی در وقت صورت می‌گیرد. Parvaz et al. (2018) در پژوهشی الگوی کشت را با استفاده از مدل AquaCrop-GIS، در دشت دهلران استان ایلام بهینه‌سازی کردند. طبق نتایج این پژوهش، AquaCrop-GIS ابزار قدرتمندی به‌منظور تحلیل تغییرات مکانی پارامترهای مؤثر در عملکرد محصول است و الگوی کشت، در دشت، تحت تأثیر تغییرات مکانی این پارامترها یک می‌باشد.

مفهوم ردپای آب را آرین هوکسترا^۱ در سال ۲۰۰۲ با معرفی UNESCO-IHE به منزله شاخص جایگزین استفاده از آب، مطرح کرد. این مفهوم با مفهوم آب مجازی مرتبط است. ردپای آب افراد، جامعه و یا کسب و کار به صورت حجم کل آب شیرین مصرفی برای تولید کالاها و نیز خدماتی تعریف می‌شود که فرد یا جامعه و یا کسب و کار استفاده کرده است. ردپای آب را می‌توان برای هر گروه از مصرف‌کنندگان (به عنوان مثال یک فرد، خانواده، روستا، شهر، استان، کشور و یا ملت) و یا برای تولیدکنندگان (به عنوان مثال یک سازمان دولتی، شرکت‌های خصوصی و یا بخش اقتصادی) محاسبه کرد. ردپای آب شاخصی چندبعدی برای استفاده از آب شیرین است که فقط به مصرف مستقیم آب از سوی مصرف‌کننده یا تولیدکننده محدود نمی‌شود بلکه، در این شاخص، استفاده غیرمستقیم از آب نیز مد نظر است.

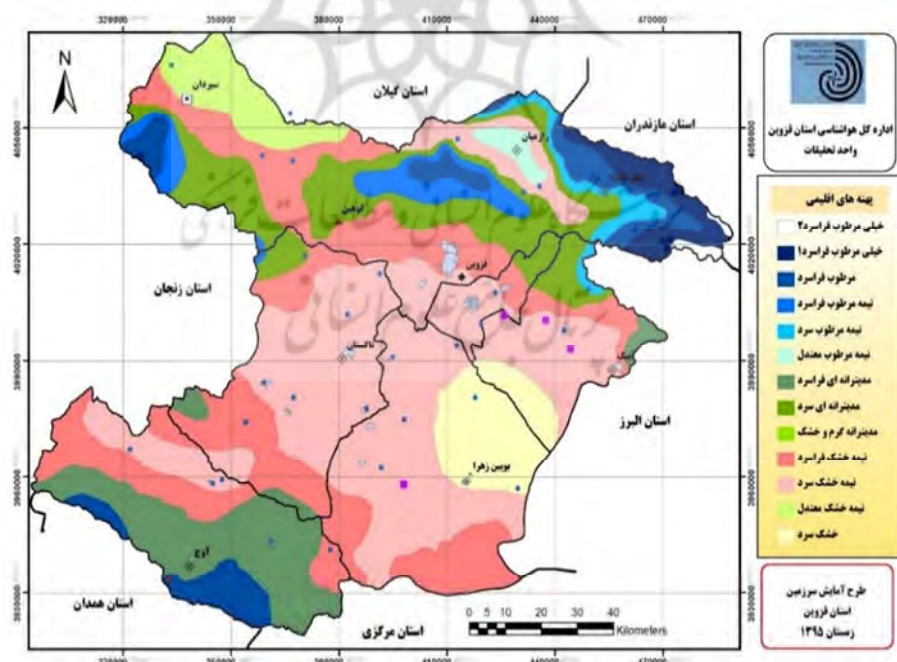
استان قزوین، از نظر سطح و تولید ذرت، رتبه پنجم و در میزان عملکرد آن، رتبه اول را در کشور به خود اختصاص داده است (وزارت جهاد کشاورزی، ۱۳۸۸).

با توجه به جایگاه استان قزوین در تولید ذرت و اهمیت کشت آن در این استان، برآورد هرچه دقیق‌تر میزان عملکرد این محصول استراتژیک ضرورت بسیاری دارد؛ از این‌رو هدف پژوهش حاضر شبیه‌سازی عملکرد و ارزیابی میزان ردپای آب مصرفی محصول ذرت به عنوان یک محصول استراتژیک در منطقه مورد مطالعه است. بدین ترتیب، با شناخت مناطق مستعد و مناسب استان

رستا نظری و همکاران



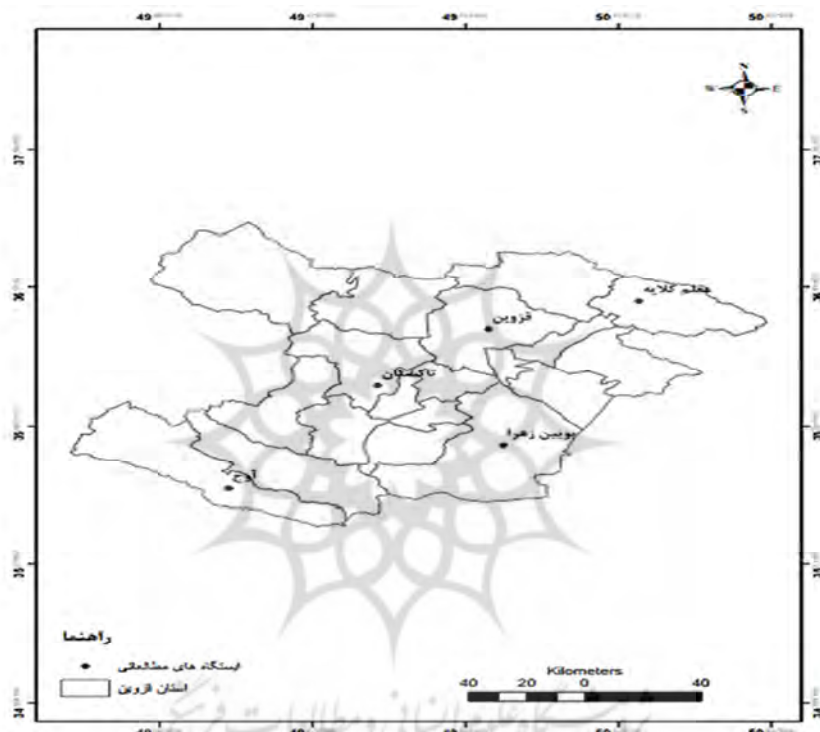
شکل ۱. موقعیت استان قزوین در کشور و نقشه تقسیمات استانی



شکل ۲. نقشه پهنه‌بندی اقلیمی استان قزوین (اداره کل هواشناسی استان قزوین، <http://qazvinmet.ir>)

خشکترین منطقه استان منطقه بوین زهرا و مناطق پیرامون آن در شرق و جنوب است که اقلیم خشک سرد دارند. در مناطق ارتفاعی آوج نیز اقلیم های مرطوب فراسرد و نیمه مرطوب فراسرد غالب است. موقعیت ایستگاه های سینوپتیک مطالعاتی و مشخصات آنها به ترتیب در شکل ۳ و جدول ۱ آمده است.

مناطق کم ارتفاع اطراف سد سفیدرود و بخش طارم سفلی دارای اقلیم نیمه خشک معتدل است. اقلیم نیمه خشک سرد بیشترین پهنه اقلیمی دشت مرکزی قزوین و شهرهای آبیک و تاکستان را دربر گرفته است. با رسیدن به مناطق مرتفع در بخش های شمالی این شهرها و همچنین منطقه کوهین و کاهش میانگین دما، آب و هوای نیمه خشک فراسرد مشاهده می شود.



شکل ۳. موقعیت ایستگاه های سینوپتیک استان قزوین

جدول ۱. مشخصات ایستگاه های سینوپتیک مطالعاتی

ردیف	نام ایستگاه	طول جغرافیایی E دقیقه درجه	عرض جغرافیایی N دقیقه درجه	ارتفاع (متر)
۱	اداره سینوپتیک فرودگاهی قزوین	۵۰-۰۳	۳۶-۱۵	۱۲۷۹/۲
۲	اداره سینوپتیک آوج	۴۹-۱۳	۳۵-۳۴	۲۰۳۴/۹
۳	اداره سینوپتیک معلم کلایه	۵۰-۲۹	۳۶-۳۷	۱۶۲۹/۲
۴	اداره سینوپتیک تاکستان	۴۹-۴۲	۳۶-۰۳	۱۲۸۳/۴
۵	اداره سینوپتیک نیمه اتوماتیک بوین زهرا	۵۰-۰۴	۳۵-۴۶	۱۲۲۵

شیاری و بارانی نیز مقایسه شد. پارامترهای گیاهی واسنجی شده مدل در جدول ۲ آمده است (رمضانی اعتدالی و همکاران، ۱۳۹۵).

جدول ۲. پارامترهای گیاهی واسنجی شده مدل برای محصول ذرت

مقدار	نام پارامتر
۸	دمای پایه (درجه سانتی گراد)
۳۰	دمای ماکزیمم (درجه سانتی گراد)
۱/۰۵	ضریب گیاهی (مرحله میانی رشد)
۳۳/۷	بهره‌وری آب (گرم بر مترمربع)
۰/۸۵	ماکزیمم عمق مؤثر ریشه (متر)
۴۸	شاخص برداشت مرجع (درصد)

۴-۲- محاسبه ردپای آب کل ذرت

در این مطالعه، حجم ردپای آب سبز، آبی، خاکستری در تولید محصول ذرت با به کار گیری چارچوب هوکسترا و چاپاگین^۹ (۲۰۰۸) و هوکسترا و همکاران (۲۰۰۹)، با اعمال تغییراتی، برآورد می‌شود. تبخیر و تعرق واقعی محصول و نیاز آبیاری در شرایط غیراستاندارد (ET_c)، با احتساب ضریب گیاهی (K_c)، براساس فرضیات آلن^{۱۰} و همکاران (۱۹۹۸) برآورد می‌شود. ابتدا نیاز آبیاری و بارندگی مؤثر از مدل گیاهی مورد مطالعه برآورد شد. سپس نیاز خالص آبیاری (NIR) با استفاده از راندمان آبیاری (IE) در سطح منطقه بدست آمد. پس از آن، مجموع بارندگی مؤثر (P_{eff}) در طول دوره واقعی

1. Mauna Loa
2. Crops
3. Initials
4. Soils
5. Groundwater
6. Management
7. Weather Data
8. Control File
9. Chapagain
10. Allen

۳-۲- معرفی مدل گیاهی

مدل AquaCrop-GIS با امکان اجرای شبیه‌سازی با تعداد بالا، به همراه نمایش پهن‌بندی همه خروجی‌های AquaCrop مدل، از تمامی ویژگی‌ها و امکانات مدل AquaCrop بهره‌مند است؛ بنابراین، همانند مدل AquaCrop از داده‌های اقلیمی در چهار بخش تبخیر و تعرق گیاه مرجع، دمای حداقل و حداکثر، مقادیر بارش و میانگین سالیانه غلظت CO₂ استفاده می‌کند. برای محاسبه غلظت CO₂ موجود در اتمسفر، مقادیر محاسبه شده در مدل طی سال‌های ۱۹۰۲ تا ۲۰۹۹ از رصدخانه مائونا لئو^۱، واقع در هاوایی، به کار رفت. اطلاعات آماری اقلیمی در بازه زمانی شبیه‌سازی مدل، با توجه به زمان کاشت و زمان شبیه‌سازی محصولات مورد مطالعه از سال ۲۰۰۴ تا سال ۲۰۱۴ (طی یازده سال)، در نظر گرفته شد. به صورت کلی مدل AquaCrop-GIS در دریافت اطلاعات ورودی از پنج دسته فایل شامل فایل‌های اطلاعات گیاهی^۲، اولیه^۳، خاک^۴، سفره آب زیرزمینی^۵ و مدیریتی^۶ بهره می‌برد (Lorite et al., 2015). اطلاعات اقلیمی نیز به صورت فایلی جداگانه، با عنوان داده‌های هواشناسی^۷، به مدل معرفی می‌شود. در انتها یک فایل مرکزی با نام فایل کنترل^۸، با تمامی اطلاعات ورودی مورد نیاز ایستگاه‌های هواشناسی، به اجرای مدل کمک می‌کند. اطلاعات گیاهی با توجه به مشخصات هر گیاه، طی یک فایل نوت پد، به مدل معرفی می‌شود. اطلاعات ورودی خاک نیز، با توجه به مشخصات لایه‌ها و ویژگی‌های خاک استان، مشخص و به مدل وارد می‌شود. در تحقیق حاضر، بافت خاک غالب کل منطقه مورد مطالعه به طور کلی بافت لوم فرض شد و سایر پارامترهای ورودی خاک مانند ضخامت، ظرفیت زراعی و نقطه پژمردگی دائم در مورد محصول ذرت به ترتیب ۰/۲۴، ۰/۱۲ و ۰/۲۴ متر، در نظر گرفته شد (رمضانی اعتدالی و همکاران، ۱۳۹۵). روش آبیاری نیز برای کسب پتانسیل عملکرد، به صورت پیش‌فرض، روش آبیاری قطره‌ای در نظر گرفته شد؛ البته در ادامه، نتایج محاسبات با نتایج دو روش آبیاری

صرف کود (کیلوگرم بر هکتار)، C_{max} غلظت بحرانی کود مصرفی (کیلوگرم بر مترمکعب)، C_{Nat} غلظت واقعی کود مصرفی در منابع آب دریافت‌کننده (کیلوگرم بر مترمکعب) و Y عملکرد محصول (تن بر هکتار) است. در نهایت، با برآورد اجزای ردپای آب می‌توان مقدار ردپای آب کل را بدین صورت به دست آورد:

$$TWF = \sum_{i=1}^n WF_{Green} + \sum_{i=1}^n WF_{Blue} + \sum_{i=1}^n WF_{Gray}$$

رابطه (۹)

که TWF ردپای آب کل (مترمکعب بر تن) و n تعداد ایستگاه‌های مطالعاتی کشت محصول است.

۳- بحث و نتیجه‌گیری

در فایل مرکزی مدل AquaCrop-GIS، ستونی از داده‌ها به وارد کردن زمان شبیه‌سازی و زمان کاشت هر گیاه اختصاص دارد. بدین‌منظور، تاریخ کشت و شبیه‌سازی برای برآورد پتانسیل عملکرد محصول با مدل بررسی شد. با شبیه‌سازی تاریخ کشت، پتانسیل عملکرد برای کشت محصول ذرت روز سیزدهم اردیبهشت‌ماه به دست آمد. نتایج عملکرد محصول ذرت شبیه‌سازی شده با مدل AquaCrop-GIS در شکل ۴ آمده است.

با توجه به نتایج عملکرد در شکل ۴، مشخص است که میزان عملکرد در مورد محصول ذرت، طی تمامی سال‌ها، روند معینی داشته است؛ به‌گونه‌ای که متوسط عملکرد ذرت در ایستگاه آوج همواره بیشترین و ایستگاه تاکستان کمترین مقادیر را داراست و این موضوع با بررسی داده‌های اندازه‌گیری شده استانی نیز هم خوانی دارد (شکل ۵). متوسط مقادیر عملکرد ذرت، طی سال ۲۰۰۴، برای تمامی ایستگاه‌ها ضعیف بوده است و در سال ۲۰۰۷، برای تمامی ایستگاه‌ها به میزان بالایی می‌رسد.

-
1. WF_{Green}
 2. WF_{Blue}

رشد ذرت، به صورت اختلاف بین مجموع تبخیر و تعرق گیاه (ET_c) و مجموع نیاز خالص آبیاری، طبق روابط زیر برآورد شد:

$$ET_c = K_c \times ET_0 \quad \text{رابطه (۱)}$$

$$NIR = ET_c - P_{eff} \Rightarrow P_{eff} = ET_c - NIR \quad \text{رابطه (۲)}$$

$$GIR = \frac{NIR}{IE} \quad \text{رابطه (۳)}$$

در نهایت، حجم مصرف آب (CWU) آبی و سبز محصول ذرت، به ترتیب روابط زیر، به دست آمد:

$$\begin{aligned} CWU_{Blue} &= \max \{0, ET_c - P_{eff}\} \\ &= NIR = 10 \times IE \times GIR \end{aligned} \quad \text{رابطه (۴)}$$

$$\begin{aligned} CWU_{Green} &= \min \{ET_c, P_{eff}\} \\ &= 10 \times P_{eff} = 10 \times (ET_c - NIR) \end{aligned} \quad \text{رابطه (۵)}$$

در این روابط، عدد ۱۰ فاکتور تبدیل واحد از میلی‌متر به مترمکعب بر هکتار است. در نهایت، ردپای آب آبی و سبز محصول ذرت به ترتیب به صورت زیر محاسبه می‌شود:

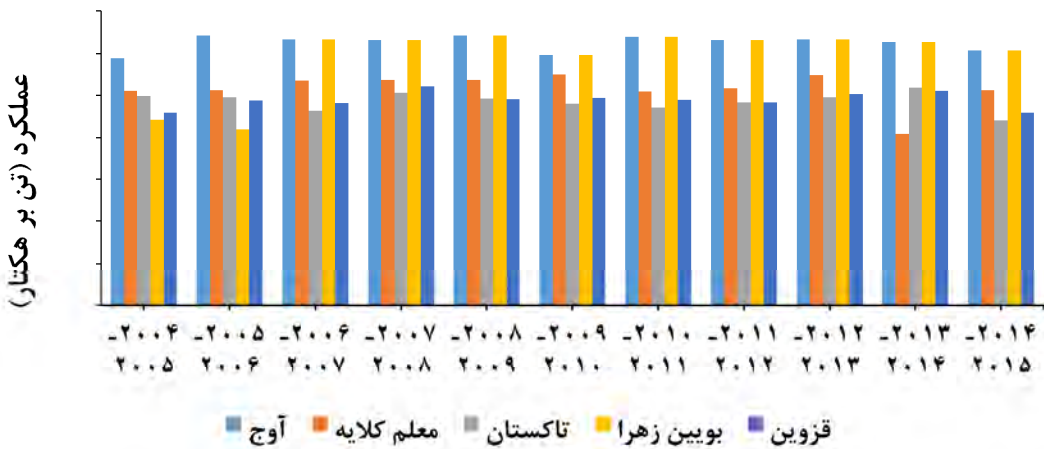
$$WF_{Green} = \frac{CWU_{Green}}{Y} \quad \text{رابطه (۶)}$$

$$WF_{Blue} = \frac{CWU_{Blue}}{Y} \quad \text{رابطه (۷)}$$

ردپای آب سبز^۱ و آب آبی^۲، بر حسب مترمکعب بر تن، از تقسیم آب مصرفی سبز و آبی بر مقدار محصول تولیدی (تن بر هکتار) محاسبه می‌شود. ردپای آب خاکستری هر محصول، به منزله حجم آب مورد نیاز برای رقیق کردن آلانینده‌ها به حدی که کیفیت آب مورد توافق استانداردهای کیفیت آب باقی‌مانده باشد، محاسبه می‌شود و رابطه برآورد آن به صورت زیر است:

$$WF_{Gray} = \frac{WU_{Gray}}{Y} = \frac{\left(\frac{\alpha \times AR}{C_{Max} - C_{Nat}} \right)}{Y} \quad \text{رابطه (۸)}$$

که در آن، α درصد تلفات کود مصرفی، AR میزان

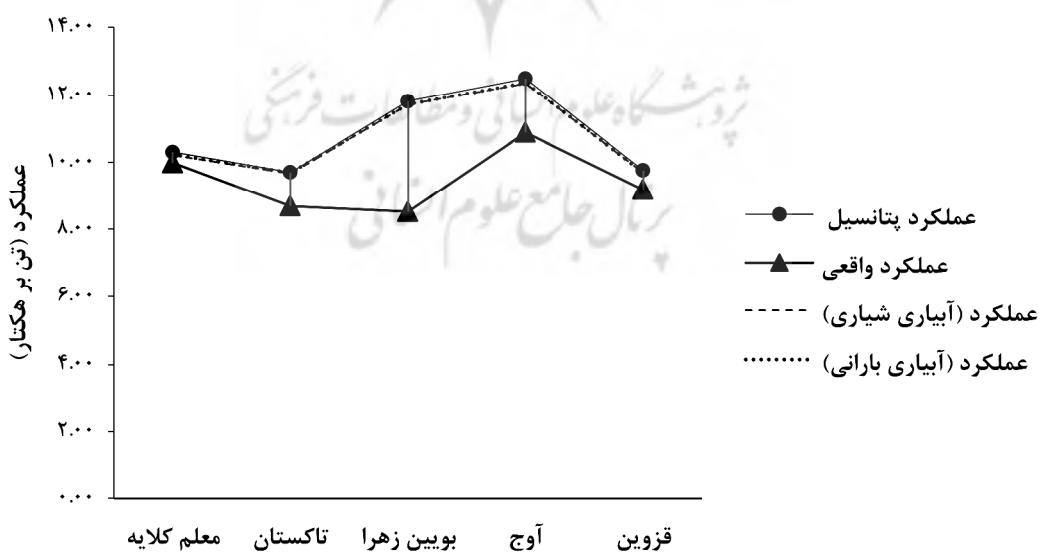


شکل ۴. عملکرد ذرت ایستگاههای مطالعاتی (تن بر هکتار)

۳-۱- نمودار عملکرد واقعی و پتانسیل

استفاده شد. با توجه به شکل ۵، شکاف عملکرد میان داده‌های عملکرد پتانسیل با داده‌های عملکرد واقعی اندازه‌گیری شده هر ایستگاه نیز نمایان شد که اختلاف این شکاف درمورد دو ایستگاه معلم کلایه و قزوین اندک و درمورد ایستگاه بوین زهرا زیاد است.

در شکل ۵، نمودار عملکرد واقعی و پتانسیل نشان داده شده است. از آن جاکه عملکرد به دست آمده با روش آبیاری قطره‌ای دارای بالاترین مقادیر عملکرد در قیاس با دو روش دیگر (آبیاری شیاری و بارانی) بود، از مقادیر این عملکرد در جایگاه عملکرد پتانسیل در تحقیق



شکل ۵. نمودار عملکرد واقعی و پتانسیل و شکاف عملکرد

شاخص برداشت همان نسبت محصول دانه به وزن ماده خشک محصول است. دستیابی به عملکرد بالا از طریق انتخاب رقمی با شاخص برداشت بالاتر هدف اصلی اصلاح نژاد است (Gutam, 2011). مقادیر شاخص برداشت در ایستگاه‌های آوج و بویین‌زهرا، به ترتیب با ۴۴/۵ و ۴۳/۹٪، بیشترین و در ایستگاه‌های قزوین و معلم کلایه، با ۴۰ و ۳۷/۵٪، کمترین مقدار را داشت. شکل ۹ پهنه‌بندی بهره‌وری آب محصول را در سطح استان، از بازه ۱ تا ۱/۶ کیلوگرم بر مترمکعب، نشان می‌دهد. میزان بهره‌وری آب محصول در ایستگاه‌های قزوین و معلم کلایه، به ترتیب با ۱/۴۳ و ۱/۴۰ کیلوگرم بر مترمکعب، بیشترین مقدار و در ایستگاه‌های تاکستان و بویین‌زهرا و آوج، به ترتیب با ۱/۱۱ و ۱/۱۲ و ۱/۱۶ کیلوگرم بر مترمکعب، کمترین مقدار را داشته است. این نتیجه با بررسی نتایج میزان تبخیر و تعرق مرجع به دست آمده در ایستگاه‌ها مطابقت دارد؛ به این صورت که میزان تبخیر و تعرق محاسباتی کمتر در برآورد میزان بهره‌وری آب محصول بیشتر تأثیر بسزایی دارد.

۲-۳- پهنه‌بندی پارامترهای کلیدی محصول پهنه‌بندی متوسط تبخیر و تعرق مرجع، عملکرد و شاخص برداشت^۱ محصول با مدل AquaCrop-GIS، در طول دوره مطالعاتی یازده ساله، به ترتیب در شکل‌های ۶ تا ۹ آمده است. در شکل ۶، متوسط مقادیر تبخیر و تعرق مرجع محصول در بازه ۸۹۲ تا ۲۰۰۲ در سطح استان پهنه‌بندی شده است. کمترین میزان تبخیر و تعرق مرجع مربوط به دو ایستگاه قزوین ۹۹۱ میلی‌متر) و معلم کلایه (۱۰۶۹ میلی‌متر) و بیشترین آن متعلق به ایستگاه‌های آوج (۱۸۲۰ میلی‌متر) و بویین‌زهرا (۱۷۷۴ میلی‌متر) است (شکل ۶). شکل ۷ متوسط مقادیر عملکرد محصول در بازه ۹ تا ۱۳ تن بر هکتار را در سطح استان نشان می‌دهد. طبق این شکل ایستگاه‌های آوج، بویین‌زهرا و معلم کلایه به ترتیب با ۱۱/۸، ۱۲/۵ و ۱۰/۳ تن بر هکتار بیشترین میزان عملکرد و دو ایستگاه قزوین و تاکستان، به ترتیب با ۹/۸ و ۹/۷ تن بر هکتار، کمترین میزان عملکرد محصول را داشتند. در شکل ۸ نیز، شاخص برداشت در سطح استان در بازه ۳۴ تا ۵۰٪ نمایش داده شده است.

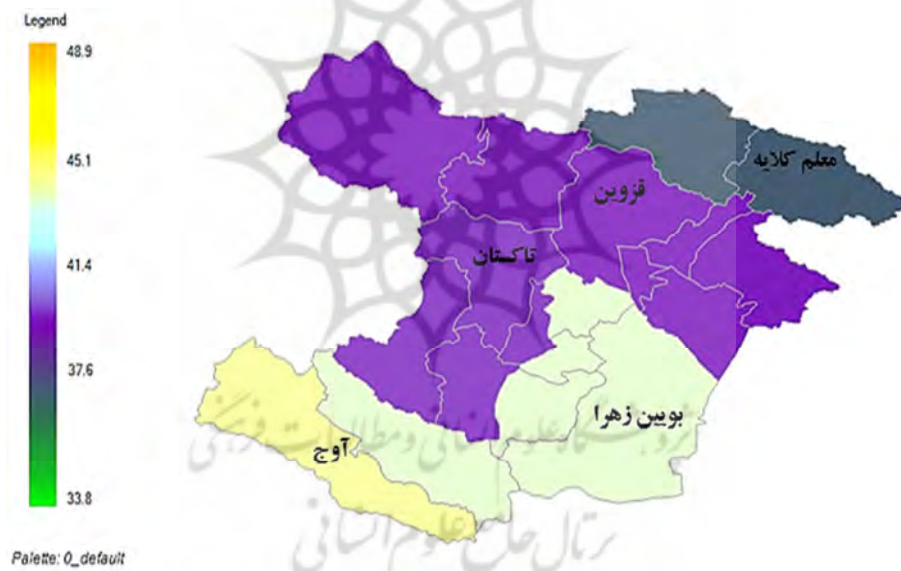


شکل ۶. پهنه‌بندی تبخیر و تعرق مرجع محصول (میلی‌متر)

1. Harvest Index (HI)



شکل ۷. پهنه‌بندی عملکرد محصول (تن بر هکتار)



شکل ۸. پهنه‌بندی شاخص برداشت محصول (درصد)

و خاکستری به ترتیب در ایستگاه تاکستان و آوج برای ردپای آب آبی، در دو ایستگاه قزوین و معلم کلایه مشاهده می شود. در مجموع، بیشترین میزان ردپای آب کل متعلق به ایستگاه بویین زهرا، با ۶۵۶ مترمکعب بر تن و کمترین میزان آن مربوط به دو ایستگاه قزوین و ایستگاه معلم کلایه، به ترتیب با ۶۰۳ و ۶۰۷ مترمکعب بر تن است.

۳-۳- برآورد اجزای ردبای آب و ردبای آب کل مقادیر اجزای ردبای آب و میزان عملکرد و کود مصرفی، بهتفکیک هر ایستگاه، در جدول ۳ و نمودار اجزای ردبای آب برآورده شده هر ایستگاه در شکل ۱۰ آمده است. با توجه به نمودار، بیشترین میزان ردبای آب سبز، آبی و خاکستری به ترتیب متعلق به ایستگاه های آوج، بویین زهرا و تاکستان است. کمترین مقادیر ردبای آب سبز

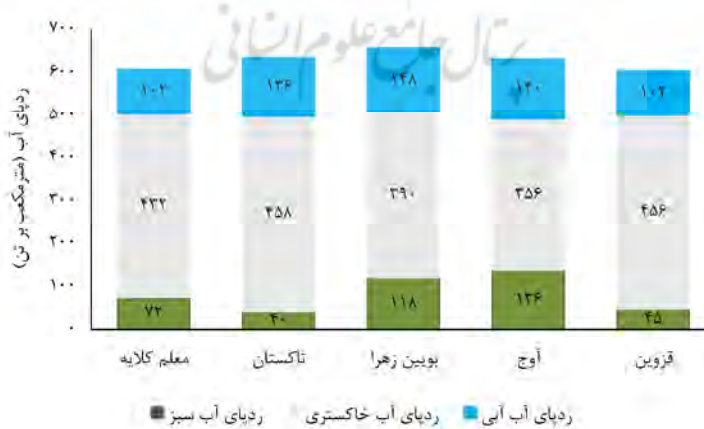
ارزیابی تغییرات عملکرد و ردپای آب محصول ذرت با مدل گیاهی AquaCrop-GIS



شکل ۹. پنهان‌بندی بهره‌وری آب محصول (کیلوگرم بر مترمکعب)

جدول ۳. مقادیر اجزای ردپای آب، عملکرد و کود مصرفی بهتفکیک ایستگاه‌های مطالعاتی

ایستگاه	کیلوگرم بر هکتار	میزان کود نیتروژن (کیلوگرم بر هکتار)	میزان مصرف کود نیتروژن (مترمکعب بر تن)	ردپای آب (مترمکعب بر تن)	مجموع	آبی	سبز	خاکستری	ردپای آب (مترمکعب بر تن)
قزوین	۹۷۶۷			۴۵۶	۶۰۳	۱۰۲	۴۵		
آوج	۱۲۴۹۵			۳۵۶	۶۳۱	۱۴۰	۱۳۶		
معلم کلایه	۱۰۳۱۳	۴۴۵	۴۴۵	۴۳۲	۶۰۷	۱۰۲	۷۲		
تاکستان	۹۷۰۷			۴۵۸	۶۳۴	۱۳۶	۴۰		
بیوین زهرا	۱۱۸۲۴			۳۹۰	۶۵۶	۱۴۸	۱۱۸		
متوسط	۱۰۸۲۱			۴۱۸	۶۲۶	۱۲۶	۸۲		
ضریب تغییرات (درصد)	۱۲			۱۱	۳	۱۷	۵۲		
مینیمم	۹۷۰۷	۴۴۵	۴۴۵	۱۰۲	۳۵۶	۱۰۲	۴۰		
ماکزیمم	۱۲۴۹۵			۴۵۸	۶۵۶	۱۴۸	۱۳۶		



شکل ۱۰. نمودار اجزای ردپای آب (مترمکعب بر تن)

۴-۳- ارتباط میان اجزای ردپای آب و ردپای آب کل با عملکرد محصول

روابط میان اجزای ردپای آب و ردپای آب کل با عملکرد محصول، برای هر ایستگاه، با استفاده از معادلات رگرسیونی به همراه مقادیر ضریب تعیین و سطح معنی داری، با ترم افزار آماری مینی تب نسخه ۱۸، برآورد شد (جدول ۴). طبق نتایج، معادلات رگرسیونی میان ردپای آب آبی با عملکرد به نسبت دیگر اجزای ردپای آب برای تمامی ایستگاهها، میزان ضریب تعیین و سطح معنی داری بیشتری (سطح٪/۵) دارد. علامت ضریب عملکرد در معادلات منفی است که رابطه غیر مستقیم آن را با مقدار ردپای آب آبی بیان می کند. معادلات رابطه میان ردپای آب سبز با عملکرد در تمامی ایستگاهها، به جزء دو ایستگاه قزوین و تاکستان، میزان ضریب تعیین و سطح معنی داری بالای دارد. علامت ضریب عملکرد، به غیر از دو ایستگاه آوج و معلم کلایه که منفی است، در سایر ایستگاهها مثبت است؛ به این معنی که افزایش عملکرد با افزایش میزان ردپای آب سبز، که همان رطوبت ذخیره شده در خاک محاسبه می شود، رابطه مستقیم دارد. معادلات روابط

در ادامه، نمودار سری زمانی ردپای آب کل برای تمامی ایستگاهها در شکل ۱۱ آمده است. برطبق نتایج نمودار، روند ردپای آب کل در بازه زمانی سال های ۲۰۰۴ تا ۲۰۱۵، برای تمامی ایستگاهها تقریباً مشابه بوده است؛ حال آنکه، در سال های اولیه، روند کاهشی افزایشی و در سال های آخر مطالعه، این روند کاهشی بوده است. بیشترین میزان ردپای آب کل، در سال ۲۰۰۶-۲۰۰۷، متعلق به ایستگاه معلم کلایه بوده است. این نتیجه را می توان با ارزیابی نتایج عملکرده محاسباتی مدل در شکل ۴ بررسی کرد؛ بدین صورت که در سال های مذکور، مقادیر عملکرد این ایستگاهها نقش مهمی در میزان ردپای آب کل با کاهش میزان عملکرد محصول همراه بوده است. علاوه بر این افزایش میزان ردپای آب کل، با توجه به مقادیر متوسط اجزای ردپای آب، عملکرد و کود مصرفی (جدول ۳) و همین طور با توجه به مقادیر پهنه بندی تبخیر و تعرق (شکل ۳)، می تواند حاکی از بالابودن میزان کود مصرفی و نیز مقدار آب آبیاری مصرفی، به ازای میزان تبخیر و تعرق بیشتر باشد.



شکل ۱۱. سری زمانی ردپای آب کل (مترا مکعب بر تن)

خاکستری ($R^2 = 0.56$) و در نهایت، کاهش میزان ردپای آب کل ($R^2 = 0.53$) منجر می‌شود. این نتیجه‌گیری با نتایج پژوهش نظری¹ و همکاران (۲۰۲۰)، که اثر تغییرات اقلیم در اجزای ردپای آب محصولات گندم و جو را در استان قزوین مطالعه کرده‌اند، مطابقت دارد؛ بدین صورت که در مطالعه این پژوهشگران کاهش میزان عملکرد در ایستگاه بوبین زهرا، تحت تأثیر متغیرهای اقلیمی، به افزایش میزان ردپای آب کل محصول انجامید.

ردپای آب خاکستری و همین‌طور ردپای آب کل با عملکرد محصول در تمامی ایستگاه‌ها، به‌غیر از ایستگاه بوبین زهرا، میزان ضریب تعیین و سطح معنی‌داری پایینی دارد؛ به‌گونه‌ای که این روابط، به لحاظ آماری، بسیار ضعیف برآورد شده‌اند. در کل، در ایستگاه بوبین زهرا روابط میان اجزای ردپای آب و ردپای آب کل، در قیاس با سایر ایستگاه‌ها، ضریب تعیین و سطح معنی‌داری بسیار بالایی دارد و افزایش عملکرد محصول در این منطقه به افزایش ردپای آب سبز ($R^2 = 0.88$)، کاهش ردپای آب

جدول ۴. معادلات رگرسیونی میان ردپای آب کل و عملکرد محصول ذرت

(P-value)	سطح معنی‌داری	ضریب تعیین (R^2)	معادله رگرسیونی	ایستگاه
۰/۵۸۱		۰/۰۴	$WF_{green} = -140/4 + 14/93 Yield$	قزوین
۰/۰۲۹		۰/۴۳	$WF_{blue} = 269/7 - 17/15 Yield$	
۰/۹۱۰		۰/۰۰۲	$WF_{gray} = 579 - 12/6 Yield$	
۰/۸۸۱		۰/۰۰۳	$TWF = 748/3 - 14/84 Yield$	
۰/۰۰۷		۰/۵۸	$WF_{green} = 361/4 - 18/0.8 Yield$	آوج
۰/۰۱۴		۰/۵۱	$WF_{blue} = 454/7 - 25/21 Yield$	
۰/۵۳۶		۰/۰۴	$WF_{gray} = -301 + 52/55 Yield$	
۰/۹۱۱		۰/۰۰۲	$TWF = 515 + 9/26 Yield$	
۰/۰۴۱		۰/۳۹	$WF_{green} = 353/4 - 27/3 Yield$	علم کلایه
۰/۰۲۹		۰/۴۳	$WF_{blue} = 208/1 - 10/26 Yield$	
۰/۶۹۵		۰/۰۲	$WF_{gray} = 635/0 - 19/64 Yield$	
۰/۲۰۵		۰/۱۷	$TWF = 1196 - 57/20 Yield$	
۰/۰۵۳		۰/۰۵	$WF_{green} = -81/2 + 12/48 Yield$	تاكستان
۰/۰۰۰		۰/۷۷	$WF_{blue} = 473/0 - 34/75 Yield$	
۰/۹۰۵		۰/۰۰۲	$WF_{gray} = 342/7 + 11/89 Yield$	
۰/۹۰۹		۰/۰۰۲	$TWF = 734/5 - 10/38 Yield$	
۰/۰۰۰		۰/۸۸	$WF_{green} = -136/9 + 21/54 Yield$	بوبین زهرا
۰/۰۰۰		۰/۷۹	$WF_{blue} = 292/2 - 12/22 Yield$	
۰/۰۰۸		۰/۵۶	$WF_{gray} = 120/3 - 68/79 Yield$	
۰/۰۱۱		۰/۵۳	$TWF = 1359 - 59/47 Yield$	
۰/۵۰۹		۰/۰۵	$WF_{green} = -21/1 + 9/54 Yield$	متوسط استان (۱۱ سال)
۰/۰۳۸		۰/۴۰	$WF_{blue} = 305/2 - 16/61 Yield$	
۰/۵۰۱		۰/۰۵	$WF_{gray} = 1093 - 62/34 Yield$	
۰/۳۹۷		۰/۰۸	$TWF = 1377 - 69/41 Yield$	

WF_{green}* و WF_{blue} و WF_{gray} به ترتیب بیانگر ردپای آب سبز، آبی و خاکستری و نماد TWF و Yield به ترتیب بیانگر ردپای آب کل و عملکرد محصول است.

1. Nazari

- Allen, R.G., Pereira, L.S., Raes, D. & Smith, M., 1998, **Crop Evapotranspiration: Guidelines for Computing Crop Water Requirements**, FAO Drainage and Irrigation Paper, 56, Food and Agriculture Organization, Rome.
- Andarzian, B., Bannayan, M., Steduto, P., Mazraeh, H., Barati, ME., Barati, M.A. & Rahnama, A., 2011, **Validation and Testing of the AquaCrop Model under Full and Deficit Irrigated Wheat Production in Iran**, Agric. Water Manag, 100(1), PP. 1-8.
- Babazadeh, H., & Sarai Tabrizi, M. 2012. **Assessment Of Aqua Crop Model Under Soybean Deficit Irrigation Management Conditions**. Journal of Water and Soil (Agricultural Sciences and Technology), 26(2), 329-339.
- Farahani, H.J., Izzi, G. & Oweis, T.Y., 2009, **Parameterization and Evaluation of the AquaCrop Model for Full and Deficit Irrigated Cotton**, Agron. Agronomy Journal, 101(3), PP. 469-476.
- Garcia-Vilaa, M. & Fereres, E., 2012, **Combining the Simulation Crop Model AquaCrop with an Economic Model for the Optimization of Irrigation Management at Farm Level**, European Journal of Agronomy, 36, PP. 21- 31.
- Geerts, S., Raes, D., Garcia, M., Miranda, R., Cusicanqui, J.A., Taboada, C., Mendoza, J., Huanca, R., Mamani, A., Condori, O., Mamani, J., Morales, B., Osco, V., Steduto, P., 2009. **Simulating Yield Response to Water of Quinoa (*Chenopodium Quinoa Willd.*) with FAO-AquaCrop**, Agronomy Journal, 101, PP. 499-508.
- Gutam, S., 2011, **Dry Matter Partitioning, Grain Filling and Grain Yield in Wheat Genotypes**, Communications in Biometry and Crop Science, 6(2), pp. 48-63.
- Heng, L.K., Hsiao, T.C., Evett, S., Howell, T. & Steduto, P., 2009, **Validating the FAO AquaCrop Model for Irrigated and Water Deficient Field Maize**, American Society of Agronomy, 101, PP. 488-498.

۴- نتیجه‌گیری

در پژوهش حاضر، با برآورد و شبیه‌سازی میزان عملکرد محصول استراتژیک ذرت در استان قزوین، روابط این پارامتر با اجزای ردپای آب ارزیابی شد تا با شناخت و تعیین مناطق مستعد استان از نظر کشت این محصول، به افزایش عملکرد همزمان با کاهش ردپای آب مصرفی محصول کمک شود و در مجموع، میزان بهره‌وری آب در سطح استان افزایش یابد. به طور کلی، برطبق نتایج پژوهش و شبیه‌سازی‌های صورت‌گرفته با استفاده از مدل گیاهی در بازه زمانی یازده ساله (۲۰۰۴-۲۰۱۴)، مقادیر تبخیر و تعرق مرجع محصول در ایستگاه‌های شمالی استان (قزوین و معلم کلایه) کمتر از ایستگاه‌های مرکزی و جنوبی (تاقستان، بوین‌زهرا و آوج) بوده است؛ همین امر موجب افزایش میزان بهره‌وری آب محصول در این ایستگاه‌ها شد و در ایستگاه‌های آوج و بوین‌زهرا، به دلیل افزایش همزمان میزان عملکرد و تبخیر و تعرق مرجع محصول، بهره‌وری آب محصول کاهش یافت. در ادامه، با بررسی معادلات رگرسیونی میان اجزای ردپای آب و ردپای آب کل با عملکرد محصول در تمامی ایستگاه‌ها مشخص شد که ردپای آب آبی، با سطح معنی‌داری بالا، رابطه‌ای غیرمستقیم با عملکرد دارد. رابطه ردپای آب سبز، به غیر از دو ایستگاه (آوج و معلم کلایه)، در مجموع مستقیم بود. به طور کلی تمامی روابط مورد نظر برای ایستگاه بوین‌زهرا سطح معنی‌داری بالاتری داشتند. از این دستاورد می‌توان جهت راهکاری بهمنظور مقابله با بحران کم‌آبی در این منطقه بهره برد و با مدیریت بهتر عملکرد و نیز میزان آب مصرفی، مقدار اجزای ردپای آب و در نهایت، میزان ردپای آب کل را کنترل کرد تا میزان بهره‌وری آب در این منطقه نیز در استان افزایش یابد.

۵- منابع

- Alizadeh, H., Nazari, B., Parsinezhad, M., Ramazani Etedali, H., Janbaz, H., 2010. **Evaluation of AquaCrop Model on Wheat Deficit Irrigation in Karaj Area**. Iranian Journal of Irrigation and Drainage, 4 (2), pp.273-283.

- Hoekstra, A.Y. & Chapagain, A.K., 2008, **Globalization of Water: Sharing the Planet's Freshwater Resources**, Blackwell Publishing, Oxford, UK.
- Hoekstra, A.Y. & Hung, P.Q., 2002, **Virtual water trade: A Quantification of Virtual Water Flows between Nations in Relation to International Crop Trade**, Value of Water Research, Report Series No. 11, UNESCO-IHE, Delft, the Netherlands.
- Hoekstra, A.Y., Chapagain, A.K., Aldaya, M.M. & Mekonnen, M.M., 2009, **Water Footprint Manual: State of the Art 2009**, Water Footprint Network, Enschede, the Netherlands.
- Hsiao, T.C., Heng, L.K., Steduto, P., Rojas-Lara, B., Raes, D. & Fereres, E., 2009, **AquaCrop-the FAO Crop Model to Simulate Yield Response to Water, III: Parameterization and Testing for Maize**, Agronomy Journal, 101, PP. 448-459.
- Jiang, Y., Xu, X., Huang, Q.Z., Huo, Z.L. & Huang, G.H., 2015, **Assessment of Irrigation Performance and Water Productivity in Irrigated Areas of the Middle Heihe River Basin Using a Distributed Agro-Hydrological Model**, Agr. Water Manage, 147, PP. 67-81.
- Langhorn, C., 2015, **Simulation of climate change impacts on selected crop yields in southern Alberta**, Doctoral dissertation, Lethbridge, Alta: University of Lethbridge, Dept. of Geography.
- Lorite, I.J., García-Vila, M., Santos, C., Ruiz-Ramos, M. & Fereres, E., 2013, **AquaData and AquaCrop-GIS: Two Computer Utilities for Temporal and Spatial Simulations of Water -Limited Yield with AquaCrop**, Computers and Electronics in Agriculture, 96: PP. 227-237.
- Nazari, R., Ramezani Etedali, H., Nazari, B. & Collins, B., 2020, **The Impact of Climate Variability on Water Footprint Components of Rainfed Wheat and Barley in the Qazvin Province of Iran**, Irrig. and Drain., 69: PP. 826-843.
<https://doi.org/10.1002/ird.2487>.
- Parvaz, G., Rostaminya, M., Alizadeh, H., 2018. **Optimization of the Cropping Pattern Using AquaCrop-GIS (Case Study: Dehloran Plain, Ilam Province)**. IRANIAN JOURNAL of SOIL and WATER RESEARCH, 49(4), pp.865-877.
- Raes, D., Steduto, P., Hsiao, T.C. & Fereres, E., 2009, **AquaCrop-the FAO Crop Model to Simulate Yield Response to Water: Reference Manual Annexes**.
- Raes, D., Steduto, P., Hsiao, T.C. & Fereres, E., 2013, **Reference Manual: AquaCrop Plug-in Program Version (4.0)**, FAO, Land and Water Division, Rome, Italy.
- Ramezani Etedali, H., Liaghat, A., Parsinejad, M., Tavakkoli, A., 2016. **AquaCrop Model Calibration and Evaluation in Irrigation Management for Main Grains**. Iranian Journal of Irrigation and Drainage, 10 (3), pp.389-397.
- Sadras, V.O., 2004, **Yield and Water-Use Efficiency of Water-and Nitrogen-Stressed Wheat Crops Increase with Degree of co-Limitation**, European Journal of Agronomy, 21(4), PP. 455-464.
- Salemi, H.R., Soom, M.A.M., Lee, T.S., Mousavi, S.F., Ganji, A. & Yusoff, M.K., 2011, **Application of AquaCrop Model in Deficit Irrigation Management of Winter Wheat in Arid Region**, African J. Agric. Res., 610, PP. 2204-2215.
- Tavakoli, A.R., Oweis, T., Ashrafi, S., Asadi, H., Siadat, H. & Liaghat, A., 2010, **Improving Rainwater Productivity with Supplemental Irrigation in Upper Karkheh River Basin of Iran**, International Centre for Agricultural Research in the Dry Areas (ICARDA), Aleppo, Syria.



سنجش از دور

،
GIS ایران

سال چهاردهم، شماره اول، بهار ۱۴۰۱
Vol.14, No. 1, Spring 2022

سنجش از دور و GIS ایران
Iranian Remote Sensing & GIS

43-58



Evaluation of Maize yield and Water Footprint Variability by AquaCrop-GIS Model

Nazari R.¹, Ramezani Etedali H.^{2*}, Daneshkar Arasteh P.³

1. Ph.D. Candidate of Irrigation and Drainage Engineering, Dep. of Water Sciences and Engineering, Imam Khomeini International University, Qazvin

2. Associate Prof., Dep. of Water Sciences and Engineering, Imam Khomeini International University, Qazvin

3. Associate Prof., Dep. of Water Sciences and Engineering, Imam Khomeini International University, Qazvin,

Abstract

Estimation of the production potential of a crop is a function of climatic conditions, crop genetic potentials and various other environmental and managerial factors. Assessing the ability of regions to realize the genetic potential of crops is one of the important points of macro-planning in agriculture. Considering the position of Qazvin province in the production of Maize and the importance of cultivating this crop, estimating the yield of this strategic product as accurately as possible is very necessary. In this regard, by studying an 11-year statistical period, Maize yield was estimated with the new crop model AquaCrop-GIS. The zoning of key product indicators was simulated through the model in the province. By examining the results of these parameters, it finds that Qazvin and Moallem Kelayeh study stations with higher reference evapotranspiration rates have higher water productivity. Then, with the help of the computational yield, components of water footprints, and total water footprint of the crop was estimated within the study stations. By examining the regression equations in each station, it was found that the relationship between blue water footprint and crop yield compared to other water footprint components for all stations has a higher coefficient of determination ($R^2 = 0.43$, $R^2 = 0.51$, $R^2 = 0.43$, $R^2 = 0.77$ and $R^2 = 0.79$ for Qazvin, Avaj, Moallem Kelayeh, Takestan and Buin Zahra stations, respectively) and level of significance. In general, the coefficient of determination of these relationships in Buin Zahra station with $R^2 = 0.88$, $R^2 = 0.79$, $R^2 = 0.56$ and, $R^2 = 0.53$, respectively, for green, blue, gray, and total water footprints compared to other stations were rated higher. This reduction in yield at the station had a significant effect on increasing the total water footprint of the crop.

Keywords: Production potential, Water productivity, Study stations, Regression equations, Significance level, AquaCrop-GIS.

* Correspondence Address: Department of Water Sciences and Engineering, Faculty of Agriculture & Natural Resources Imam Khomeini Int. University, Qazvin. Tel: +98(28)33901278- 09123534254
Email: ramezani@eng.ikiu.ac.ir